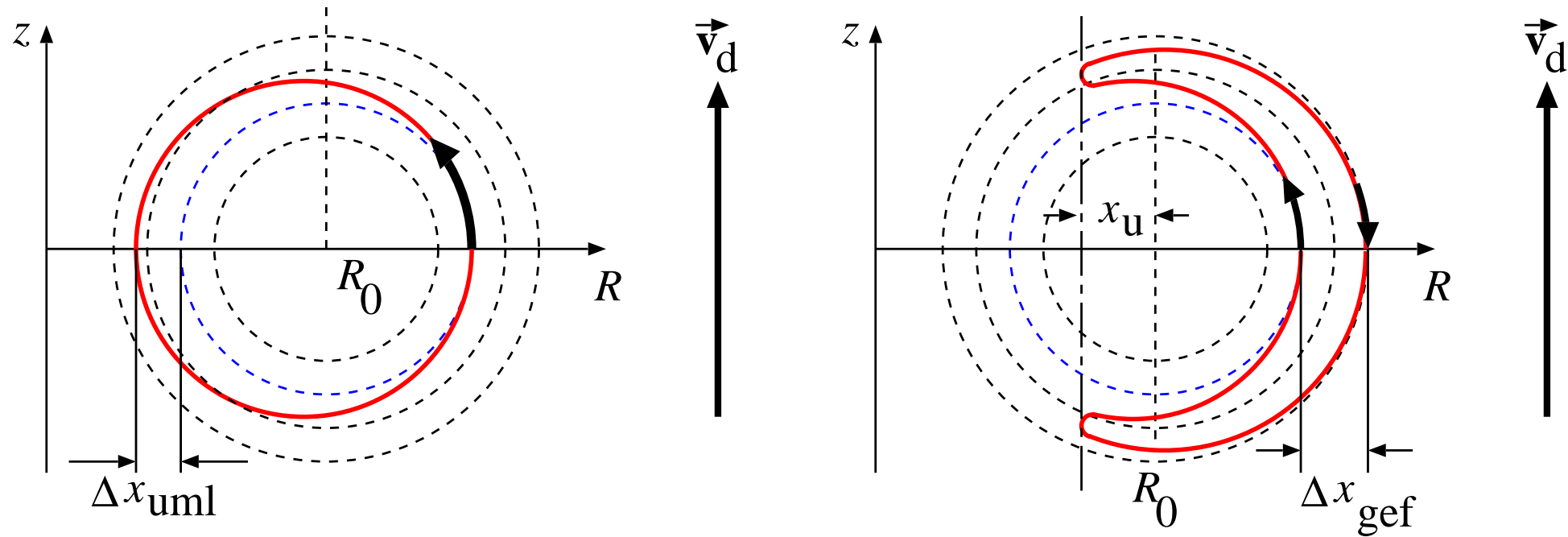


# Driftbahnen im Torus



Wolfgang Suttrop, Max-Planck-Institut für Plasmaphysik, Garching

# Inhalt

- Gyrozentrums-Drift im Torus
- Magnetischer Spiegel im Torus
  - “Umlaufende” Teilchen
  - “Gefangene” Teilchen
- Führen Driftbahnen zu Teilchenverlusten?

## Gyrozentrums-Driften

**Krümmungsdrift** (wg. Fliehkraft:  $\vec{F}_R = mv_{\parallel}^2 \vec{R}_c / R_c^2$ )

$$\vec{v}_R = \frac{mv_{\parallel}^2}{q} \frac{\vec{R}_c \times \vec{B}}{R_c^2 B^2} \sim \underbrace{\frac{mv_{\parallel}^2}{q} \frac{\vec{B} \times \nabla B}{B^3}}_{\text{Zylindersymmetrie, } \vec{j}=0}$$

**$\nabla B$ -Drift** (Variation von  $B$  in der Gyrationperiode)

$$\vec{v}_{\nabla B} = \frac{mv_{\perp}^2}{2qB^3} \left( \vec{B} \times \nabla B \right)$$

Vereinfachende Annahmen:

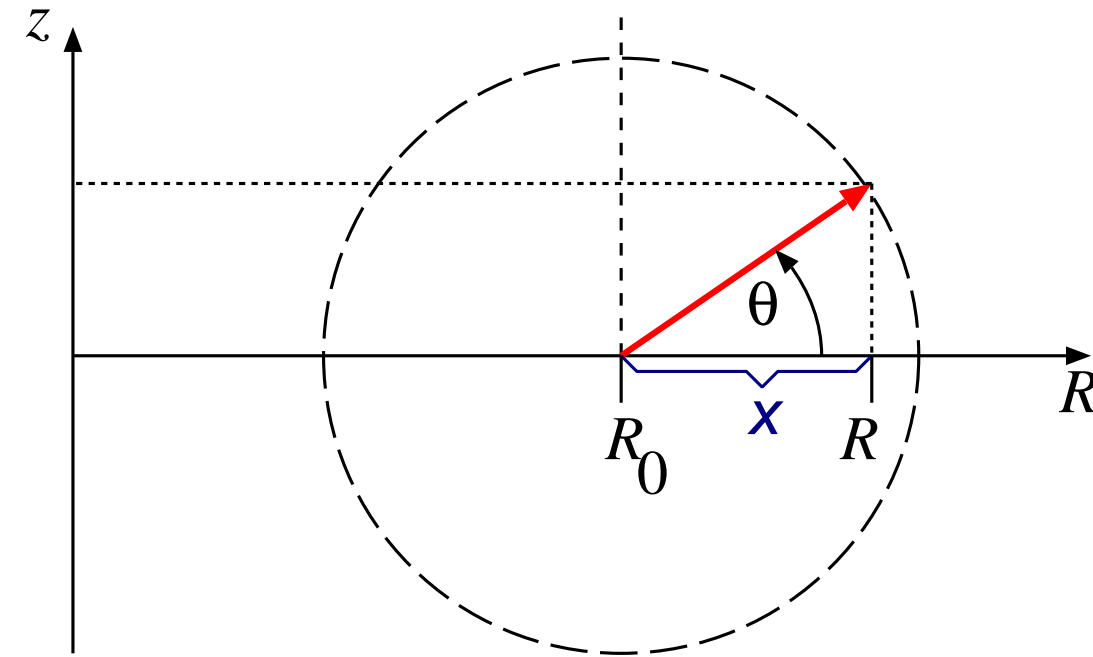
- $B \propto 1/R$  (wie im Vakuum)  $\Rightarrow B/\nabla B \sim R$
- Thermische Verteilung  $v = v_{\text{th}}$
- Gleichverteilung der kinetischen Energie in allen Freiheitsgraden

$\Rightarrow$  Kombinierte  $\nabla B$ - und Krümmungsdrift  $v_D$  ( $q$ : Teilchenladung,  $m$ : Teilchenmasse)

$$v_D = \frac{3}{2} m v_{\text{th}}^2 \frac{1}{R q B}$$

# Toroidale Koordinaten

Poloidaler Schnitt:



Magnetische Achse:  $(R_0, z = 0)$

“Großer” Radius:  $R$

“Kleiner” Radius:

$$r = \sqrt{(R - R_0)^2 + z^2} = \sqrt{x^2 + z^2}$$

Poloidaler Winkel  $\theta$ :

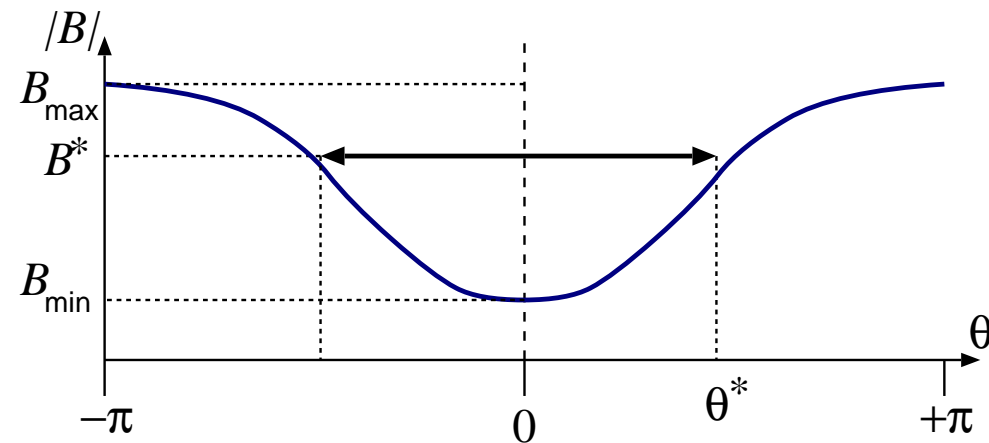
$$\sin \theta = \frac{z}{r}, \quad \cos \theta = \frac{x}{r}$$

# Magnetischer Spiegel im Torus

**$B$  entlang der Gyrozentrums-Bahn:**

$$B \approx B_\phi = \frac{B_0 R_0}{R} = \frac{B_0 R_0}{R_0 + x} = \frac{B_0}{1 + \varepsilon \cos \theta}$$

mit  $\varepsilon = r/R < 1$ : inverses Aspektverhältnis



Minimales und maximales  $B$ :

$$B_{\max} = \frac{B_0}{1 - \varepsilon}, \quad B_{\min} = \frac{B_0}{1 + \varepsilon}$$

**Konstanten der Bewegung:**

$$W_{\text{tot}} = \frac{1}{2} m v^2 \quad \text{kinetische Energie}$$

(Bahngeschwindigkeit  $v^2 = v_\perp^2 + v_\parallel^2$ )

$$\mu = \frac{m v_\perp^2}{2B} \quad \text{magnetisches Moment}$$

Mit steigendem  $B$  entlang der Bahnkurve muss  $v_\perp^2$  steigen. Die benötigte Energie kommt aus der Bewegung  $\parallel B$ .

$\Rightarrow$  Bei  $v_\parallel = 0$  kehrt die Bewegungsrichtung um (gefangene Teilchen).

Vgl. Umkehrpunkt ( $\theta = \theta^*$ ) und  $\theta = 0$ :

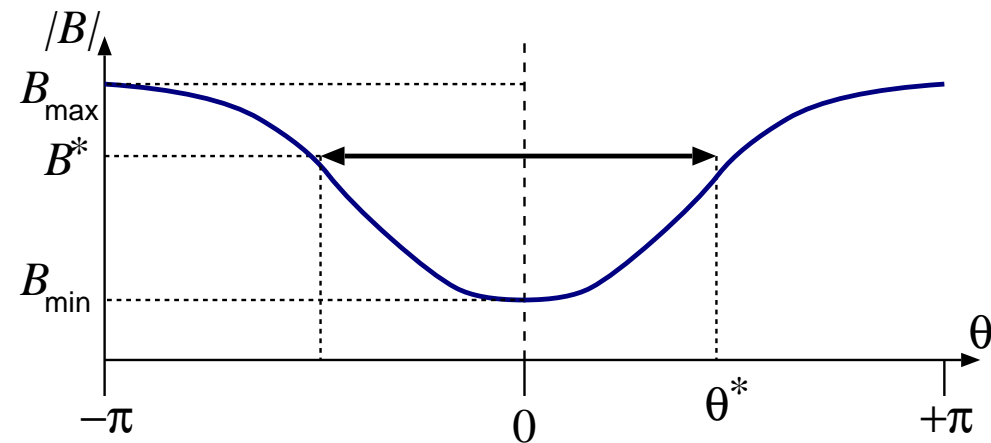
$$\frac{v_\perp^2(\theta)}{2B^*} = \frac{v_\perp^2(0)}{2B_{\min}}, \quad v_\perp^2(\theta) = v_\perp^2(0) + v_\parallel^2(0)$$

# Umlaufende und gefangene Teilchen

**$B$  entlang der Gyrozentrums-Bahn:**

$$B \approx B_\phi = \frac{B_0 R_0}{R} = \frac{B_0 R_0}{R_0 + x} = \frac{B_0}{1 + \varepsilon \cos \theta}$$

mit  $\varepsilon = r/R < 1$ : inverses Aspektverhältnis



Minimales und maximales  $B$ :

$$B_{\max} = \frac{B_0}{1 - \varepsilon}, \quad B_{\min} = \frac{B_0}{1 + \varepsilon}$$

**Umkehrpunkt:**

$$\frac{B^*}{B_{\max}} = 1 + \frac{v_{\parallel}^2(0)}{v_{\perp}^2(0)}$$

**Zwei Typen von Teilchenbahnen:**

$B^* > B_{\max}$ : Parallelgeschwindigkeit wird bei  $B = B_{\max}$  nicht komplett aufgebraucht, Teilchen durchlaufen weiter ihre Bahn um den Torus.

$\Rightarrow$  **Umlaufende Teilchen**

$B^* \leq B_{\max}$ : Parallelgeschwindigkeit erreicht  $v_{\parallel} = 0$  bei  $B = B^*$ , Teilchen wird im magnetischen Spiegel reflektiert und erreicht das maximale Feld nicht.

$\Rightarrow$  **Gefangene Teilchen**

# Grenze zwischen umlaufenden und gefangenen Teilchen

Def.: Umkehrpunkt  $B^* = B_{\max}$

$$\frac{v_{\parallel}^2(0)}{v_{\perp}^2(0)} = \frac{B_{\max}}{B_{\min}} - 1 = \frac{2\varepsilon}{1-\varepsilon} \sim 2\varepsilon \quad (\varepsilon \leq 1)$$

Für großes Aspektverhältnis ( $\varepsilon \leq 1$ ):

$$\frac{v_{\parallel}^2(0)}{v_{\perp}^2(0)} \sim 2\varepsilon$$

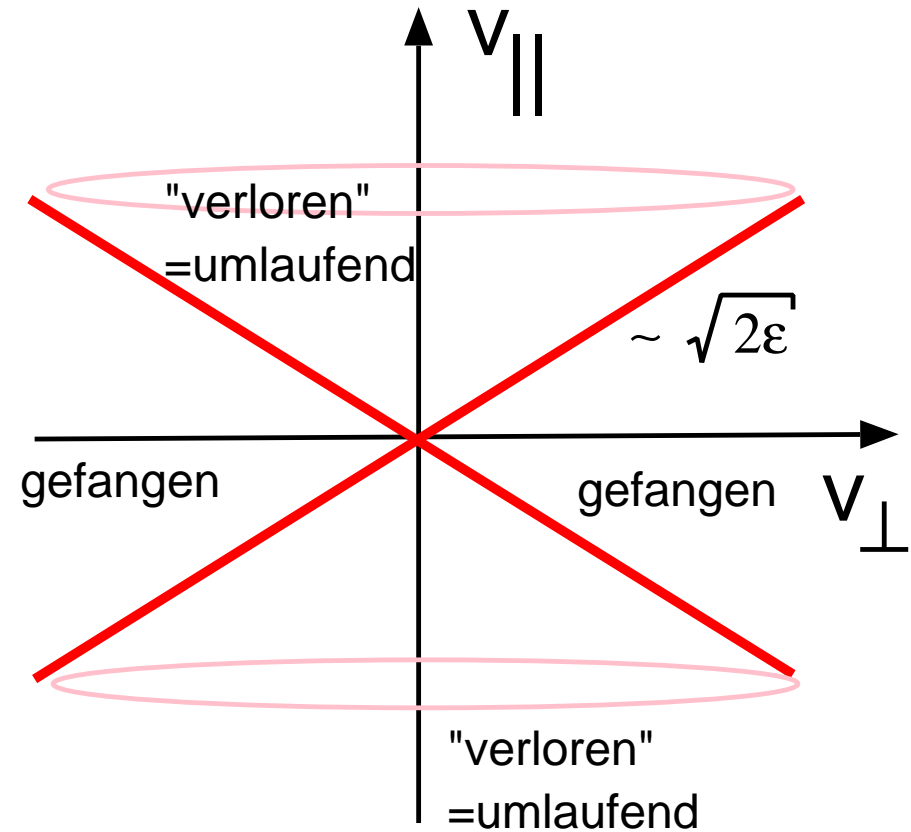
bzw.

$$\frac{v_{\parallel}(0)}{v_{\perp}(0)} \sim \sqrt{2\varepsilon}$$

“Verlustkegel”:

$v_{\parallel}$  (1 Raumrichtung)

$v_{\perp}$  (2 Raumrichtungen)



## Anteil gefangener Teilchen

Berechne zuerst den Anteil *umlaufender* Teilchen,  
d.h. Teilchen im Verlustkegel:

$$f_{\text{uml}} = \frac{\int_{\text{uml}} f(\vec{v}) d^3v}{\int_{\text{alle}} f(\vec{v}) d^3v}$$

Isotrope Geschwindigkeitsverteilung (bei  $\theta = 0$ ):

$$f_{\text{uml}} = \frac{\text{Vol. Verlustkegel}}{\text{Vol. Kugel}} = \frac{\frac{4}{3}\pi v^2 (v - v_{\parallel})^{(1)}}{\frac{4}{3}\pi v^3} = \frac{v - v_{\parallel}}{v}$$

Anteil *gefangener* Teilchen:

$$f_{\text{gef}} = 1 - f_{\text{uml}} = \frac{v_{\parallel}}{v} = \sqrt{2\varepsilon} \frac{v_{\perp}}{v}$$

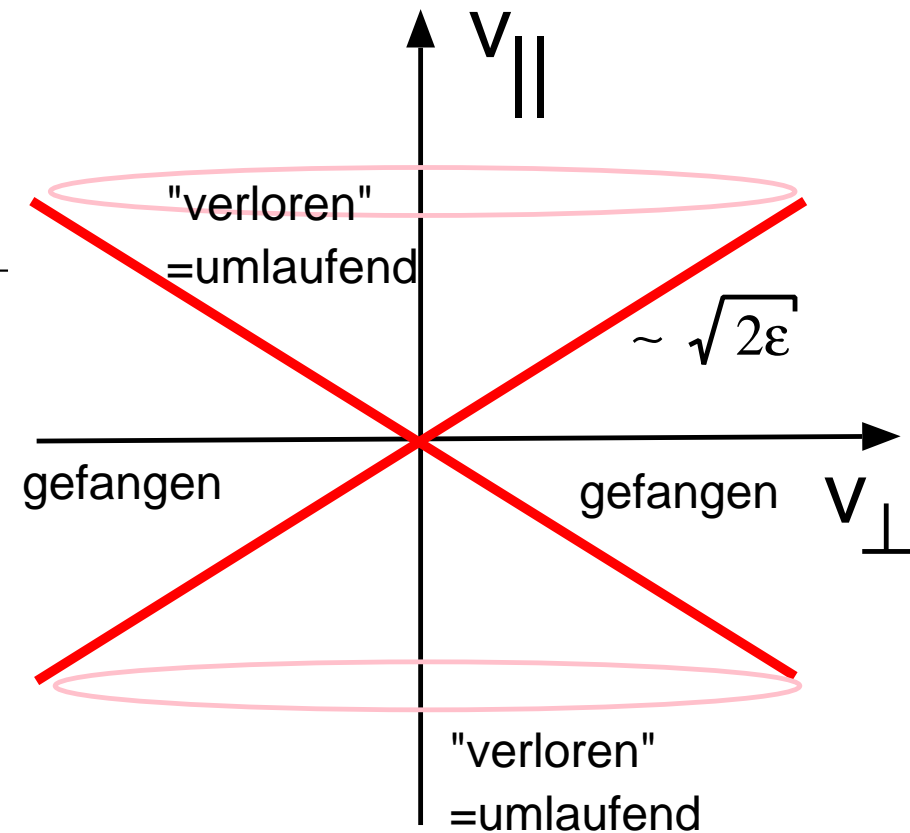
Für großes Aspektverhältnis:

$$f_{\text{gef}} \approx \sqrt{2\varepsilon}$$

“Verlustkegel”:

$v_{\parallel}$  (1 Raumrichtung)

$v_{\perp}$  (2 Raumrichtungen)

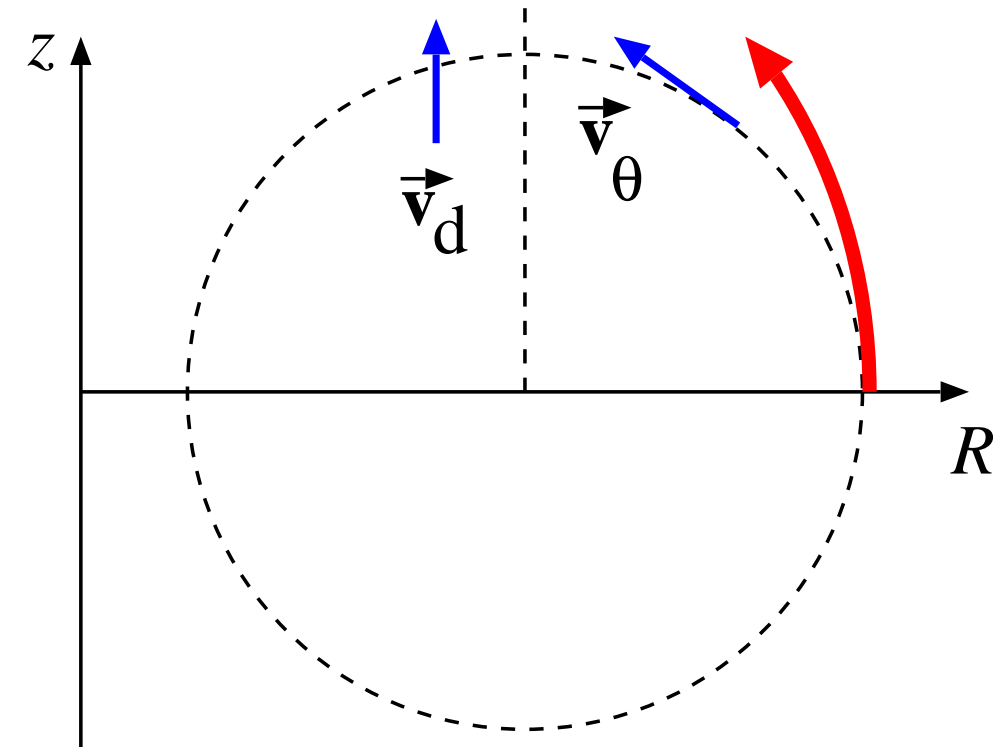


<sup>(1)</sup> vgl. z.B. Bronstein. Taschenbuch der Mathematik, Kap 2.6.2.4



## Bahnkurve der Gyrozentren

Durch die Gyrozentrums-Drift entfernen sich die Teilchen von den magnetischen Flächen. Betrachten zunächst umlaufende Teilchen.



Poloidale Komponente von  $v_{\parallel}$ :

$$v_{\theta} \equiv \frac{B_{\theta}}{B} v_{\parallel}$$

In Tokamaks,  $B_{\phi} > B_{\theta}$ , so dass  $B \approx B_{\phi}$ . Die Drift verläuft näherungsweise in  $z$ -Richtung.

Poloidale Komponenten von  $v_{\theta}$ :

$$v_R = \frac{dR}{dt} = -v_{\theta} \sin \theta = -v_{\theta} \frac{z}{r}$$

und

$$v_z = \frac{dz}{dt} = v_{\theta} \cos \theta + v_D = v_{\theta} \frac{x}{r} + v_D$$

## Bahnkurve umlaufende Teilchen

Bahnkurve durch Auflösen nach  $dt$  und gleichsetzen

$$\left(v_\theta \frac{x}{r} + v_D\right) dR = -v_\theta \frac{z}{r} dz$$

Mit

$$xdR + zdz = \frac{1}{2}d(r^2) = rdr = -\frac{v_D}{v_\theta} r dR$$

ergibt sich eine DGL for  $r$  (radiale Abweichung von der magnetischen Fläche):

$$\frac{dr}{dR} = -\frac{v_D}{v_\theta} = -\frac{v_D}{v_\parallel} \frac{B}{B_\theta} \equiv -\alpha$$

Für  $\varepsilon \ll 1$ ,  $v_D B \approx \text{const.}$

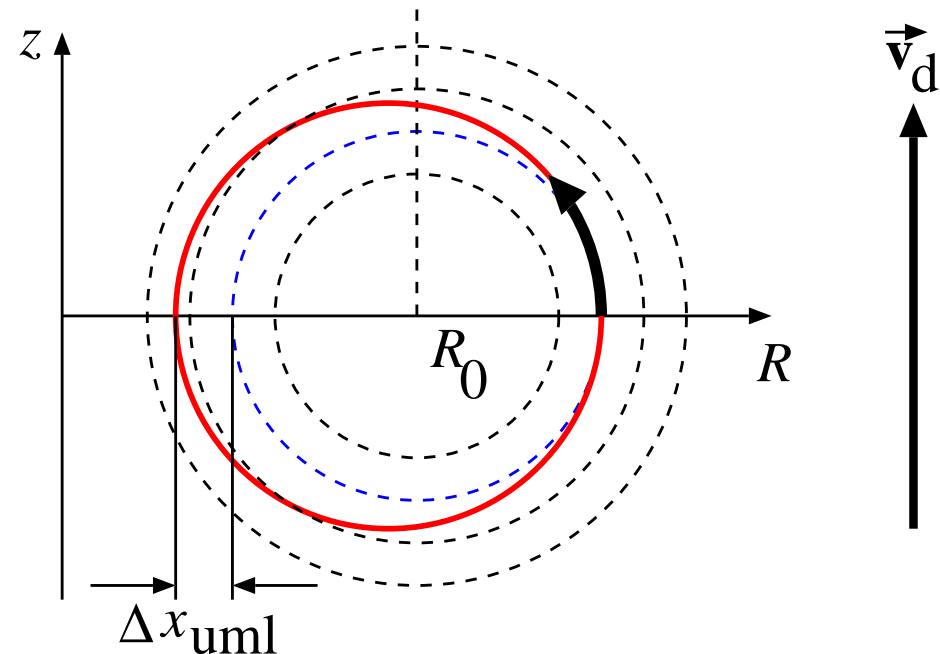
Für  $v_\parallel / v_\perp \gg \sqrt{2\varepsilon}$  (tief umlaufende Teilchen),  
 $v_\parallel \approx \text{const.}$

$\Rightarrow \alpha \approx \text{const.}$

Bahnkurve durch (triviales) Integrieren:

$$r(R) = r_0 - \alpha x, \quad r_0^2 = z^2 + (x + \alpha r_0)^2$$

$\rightarrow$  Kreisbahn mit Zentrum um  $\alpha r_0$  in  $(-R)$ -Richtung verschoben:

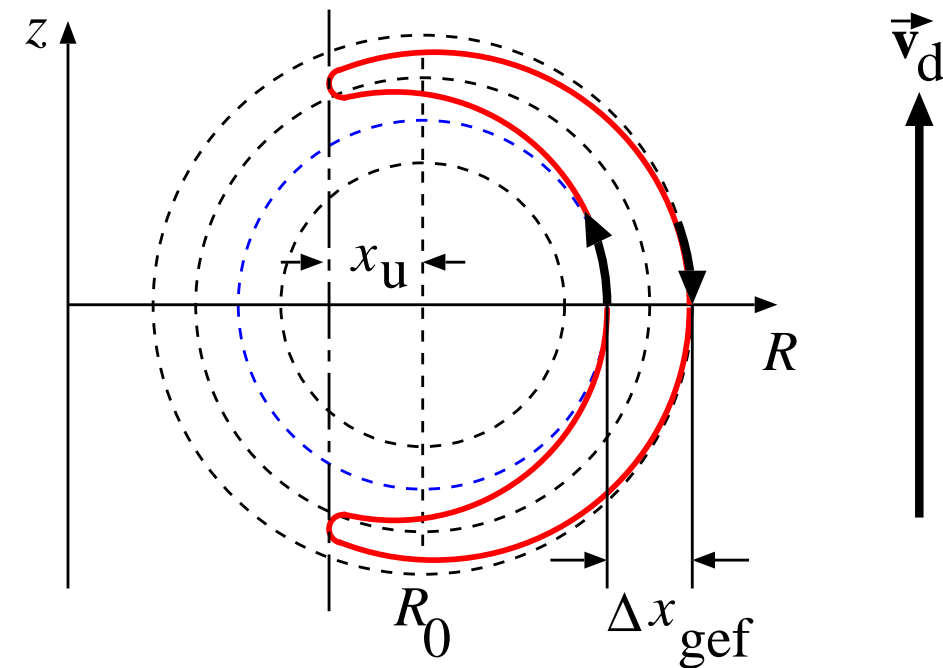


Max. Bahnabweichung von magn. Fläche:

$$\Delta x_{\text{uml}} = 2\|\alpha\| r_0 = 2 \frac{v_D}{v_\parallel} \frac{B}{B_\theta} r_0$$

## Bahnkurve gefangener Teilchen

Teilchen kehren bei  $v_{\parallel} = 0$  im magnetischen Spiegel um. Die überlagerte Driftbewegung erzeugt (im poloidalen Querschnitt) eine sogenannte “Bananenbahn”:



$v_{\parallel}$  ist entlang der Bahn nicht mehr konstant und muss berechnet werden.

Erhaltung des magnetischen Moments:

$$\underbrace{\frac{mv^2}{2B^*}}_{\text{Umkehrpunkt}} = \underbrace{\frac{m(v^2 - v_{\parallel}^2)}{2B}}_{\text{andere Bahnorte}} \Rightarrow v_{\parallel} = v \sqrt{1 - \frac{B}{B^*}}$$

Ortsabhängigkeit von  $B$ :

$$B \sim \frac{B_0 R_0}{R} = \frac{B_0 R_0}{R_0 + x} = \frac{B_0}{1 + x/R_0}$$

Da  $x \leq r$ , ist  $x/R_0 \ll 1$  wenn  $\varepsilon = r/R_0 \ll 1$ .

Entwickeln, 1. Ordnung:

$$v_{\parallel} \sim v \sqrt{1 - \frac{1 - x/R_0}{1 - x^*/R_0}} = v \sqrt{\frac{x - x^*}{R_0 - x^*}} \sim v \sqrt{\frac{x - x^*}{R_0}}$$

## Bahnkurve gefangener Teilchen (2)

Damit ergibt sich für  $r$ :

$$\frac{dr}{dR} = -\alpha = -\frac{v_D}{v_{\parallel}} \frac{B}{B_{\theta}} = -\frac{v_D}{v} \frac{B}{B_{\theta}} \sqrt{\frac{R_0}{x-x^*}}$$

Integrieren, beginnend bei  $x = +r$   
(Mittlebene außen):

$$r^* - r = \int_{x=r}^{x^*} \frac{v_D}{v} \frac{B}{B_{\theta}} \sqrt{\frac{R_0}{x-x^*}} dx$$

Zur Vereinfachung betrachten wir *tief*  
gefangene Teilchen, die weit außen bleiben, so  
dass  $B \sim \text{const.}$

$$r^* - r = -\sqrt{R_0} \frac{v_D}{v} \frac{B}{B_{\theta}} \int_{x=r}^{x^*} \sqrt{\frac{R_0}{x-x^*}} dx$$

bzw.

$$r^* - r = -\frac{2v_D}{v} \frac{B}{B_{\theta}} \sqrt{R_0(r-x^*)}$$

Versatz in der Äquatorialebene (doppelt wg.  
Hinweg zum und Rückweg vom  
Umkehrpunkt):

$$\Delta x_{\text{gef}} = 2(r^* - r) = -\frac{4v_D}{v} \frac{B}{B_{\theta}} \sqrt{R_0(r-x^*)}$$

Verhältnis des Bahnversatzes gefangener und  
umlaufender Teilchen:

$$\frac{\Delta x_{\text{gef}}}{\Delta x_{\text{uml}}} \sim 2 \frac{v_{\parallel}}{v} \sqrt{\frac{R_0}{r}} = 2 \frac{v_{\parallel}}{v} \frac{1}{\sqrt{\epsilon}}$$

## Führen Driftbahnen zu Teilchenverlusten?

Betrachte:

- axisymmetrisches, stationäres  $\vec{B}$ -Feld
- keine Beschleunigung durch zusätzliche konservative Kraftfelder, d.h.  $E = 0$ .

Bewegungsgleichung für Teilchen:

$$m \frac{d\vec{v}}{dt} = q \left( \vec{v} \times \vec{B} \right)$$

Toroidale Komponente:

$$\begin{aligned} \frac{m}{q} \frac{dv_\phi}{dt} &= v_z B_R - v_R B_z = B_R \frac{dz}{dt} - B_z \frac{dR}{dt} \\ &= -\frac{1}{2\pi R} \left[ \frac{\partial \Psi}{\partial z} \frac{dz}{dt} + \frac{\partial \Psi}{\partial R} \frac{dR}{dt} \right] \end{aligned}$$

mit  $\Psi(R, z)$ : poloidaler magnetischer Fluss  
(s. Vorlesung MHD-Gleichgewichte)

Da  $\vec{B}$  und  $\Psi$  im ortsfesten System zeitlich konstant angenommen sind, ändert sich  $\Psi(R, z)$  nur durch die Bewegung des Teilchens im Raum,  $R(t), z(t)$ , d.h.

$$\frac{\partial \Psi}{\partial R} = \frac{d\Psi}{dR}, \quad \frac{\partial \Psi}{\partial z} = \frac{d\Psi}{dz}$$

Damit folgt (alle Größen jeweils am Teilchenort genommen):

$$\frac{d}{dt} \left( \frac{\Psi}{2\pi R} + \frac{mv_\phi}{q} \right) = 0$$

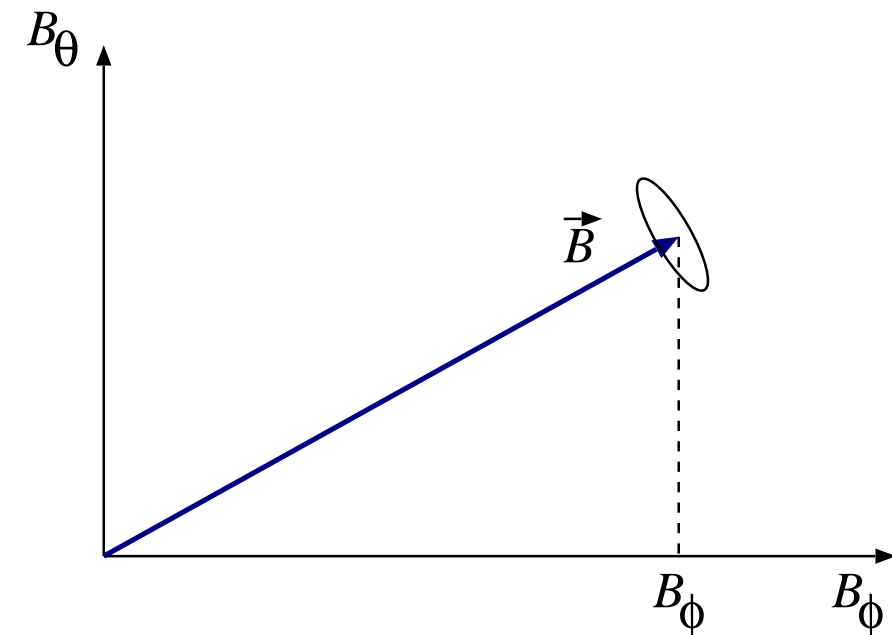
bzw.

$$\frac{\Psi}{2\pi R} + \frac{mv_\phi}{q} = \text{const.}$$

## Führen Driftbahnen zu Teilchenverlusten? (2)

Entlang der Teilchenbahn haben wir:

$$\frac{\Psi}{2\pi R} + \frac{mv_\phi}{q} = \text{const.}$$



Mittlung von  $v_\phi$  über die Gyrationbewegung  
(Bewegung  $\perp B$ ) lässt die toroidale  
Komponente der Bewegung  $\parallel B$  übrig:

$$\bar{v}_\phi = v_\parallel \frac{B_\phi}{B}$$

Damit:

$$\Psi + \underbrace{2\pi R B_\phi}_{=\mu_0 I_\theta(\Psi)} v_\parallel \underbrace{\frac{m}{qB}}_{=1/\omega_c} = \text{const.}$$

An den Umkehrpunkten der Bahnen  
gefangener Teilchen:  $v_\parallel = 0$ , und damit ist bei  
der Bahnumkehr das Teilchen immer am  
selben  $\Psi$ , d.h. auf derselben Flussfläche.

$\Rightarrow$  Ohne Stösse bleiben gefangene Teilchen  
eingeschlossen.

Aber: Aufgrund der o.g. Annahmen ist diese  
Folgerung nicht gültig für:

- Nicht-axisymmetrische Konfigurationen
- $\partial B / \partial t \neq 0$
- $E \neq 0$

## Zusammenfassung: Torusdrift

- Im Torus ergibt sich durch das räumlich nicht konstante toroidale Magnetfeld ein magnetischer Spiegel. ( $B$  niedrig auf der Torusaußenseite, hoch auf der Torusinnenseite).
- In diesem Spiegel sind Teilchen für  $v_{\parallel}/v_{\perp} < \sqrt{2\varepsilon}$  gefangen ( $v$  jeweils gemessen bei niedrigstem Feld auf der Mittelebene außen) und durchlaufen “Bananenbahnen”.  
Teilchen mit  $v_{\parallel}/v_{\perp} > \sqrt{2\varepsilon}$  (verlorene Teilchen im linearen Spiegel, umlaufende Teilchen im Torus) durchlaufen zu den Flussflächen nach innen versetzte komplette helikale Bahnen.
- Der Anteil gefangener Teilchen an der Teilchengesamtheit mit isotroper Geschwindigkeitsverteilung beträgt ca.  $\sqrt{2\varepsilon}$ . Obwohl gefangene Teilchen normalerweise in der Minderzahl sind, kann aufgrund ihres größeren Bahnversatzes der stossbehaftete Transport durch sie dominiert werden.